



北京航空航天大学
B E I H A N G U N I V E R S I T Y

自动控制原理实验 A(1) 实验报告

院(系)名称	_____高等理工学院_____
学 号	_____16231235_____
姓 名	_____李谨杰_____
指 导 教 师	_____崔老师_____

2018 年 10 月 23 日

实验一 二阶系统的电子模拟及时域响应的动态测试

实验时间：2018.11.23 实验编号： 同组同学：无

一、实验目的

1. 精通在电子模拟机上建立典型环节系统的方法。
2. 掌握阶跃响应的测试方法。
3. 理解一、二阶系统阶跃响应及其性能指标与参数之间的关系。

二、实验内容

1. 建立一阶系统的电子模型,观测并记录在不同时间常数 T 时的跃响应曲线,并测定其过渡过程时间 TS , 填写表格。
2. 建立二阶系统的电子模型,观测并记录在不同阻尼比 ζ 时的跃响应曲线,并测定其超调量 $\sigma\%$ 及过渡过程时间 TS , 填写表格。

三、实验原理

一阶系统： 系统传递函数为： $\Phi(S) = \frac{C(S)}{R(S)} = \frac{K}{TS+1}$

模拟运算电路如图 1-1 所示：

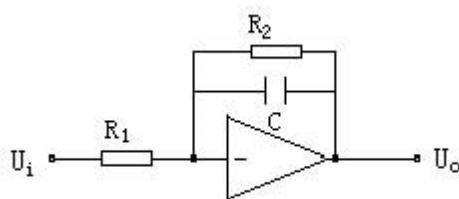


图 1-1

由图 1-1 得 $\frac{U_o(S)}{U_i(S)} = \frac{R_2/R_1}{R_2CS+1} = \frac{K}{TS+1}$

在实验当中始终取 $R_2=R_1$, 则 $K=1$, $T=R_2C$ 取不同的时间常数 T 分别为：0.25、0.5、1

2. 二阶系统:

其传递函数为： $\phi(S) = \frac{C(S)}{R(S)} = \frac{\omega_n^2}{S^2 + 2\zeta\omega_n S + \omega_n^2}$

令 $\omega_n=1$ 弧度/秒, 则系统结构如图 1-2 所示:

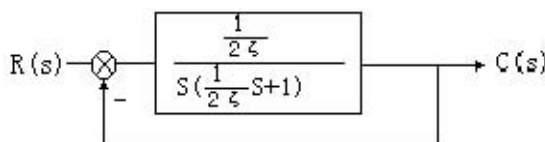


图 1-2

根据结构图, 建立的二阶系统模拟线路如图 1-3 所示:

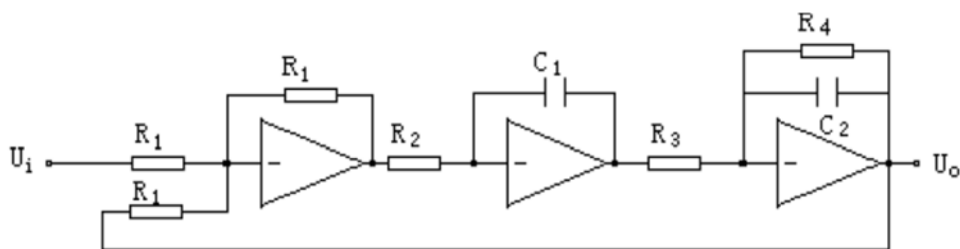


图 1-3

取 $R_2C_1=1$, $R_3C_2=1$, 则 $\frac{R_4}{R_3} = R_4C_2 = \frac{1}{2\xi}$ 及 $\xi = \frac{1}{2R_4C_2}$

ξ 取不同的值 $\xi=0.25$, $\xi=0.5$, $\xi=0.707$, $\xi=1$

四、实验设备

1. 数字计算机
2. 电子模拟机
3. 万用表
4. 测试导线

五、实验步骤

1. 熟悉 HHMN-1 型电子模拟机的使用方法，将各运算放大器接成比例器，通电调零。
 2. 断开电源，按照实验说明书上的条件和要求，计算电阻和电容的取值，按照模拟线路图搭接线路。
 3. 谨慎连接输入、输出端口，不可接错（参见注意事项 1）。线路接好后，经教师检查后再通电。
 4. 在 Windows 桌面用鼠标双击“MATLAB”图标后进入，在命令行处键入“autolab”进入实验软件系统。
 5. 在系统菜单中选择实验项目，选择“实验一”，在窗口左侧选择“实验模型”，其它步骤察看概述 3.2 节内容。
 6. 观测实验结果，记录实验数据（参见注意事项 2），及时绘制实验结果图形（参见注意事项 3），填写实验数据表格，完成实验报告。
 7. 研究性实验方法。
- 实验者可自行确定典型环节传递函数，并建立系统的 SIMULINK 模型，验证自动控制理论相关的理论知识。实现步骤可察看概述 3.3 节内容。

六、实验结果

1. 一阶系统

T	0.25	0.5	1
R2	250k Ω	500 Ω	1M Ω
C	1uF	1uF	1uF
Ts 实测/s	0.78	1.77	3.21
Ts 理论/s	0.75	1.50	3.00
阶跃响应曲线	图 1-4	图 1-5	图 1-6

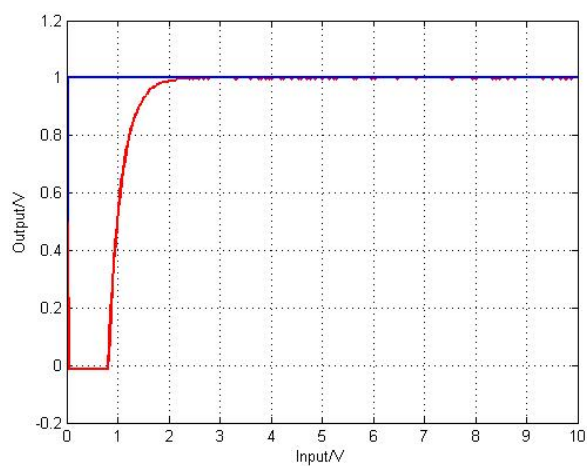


图 1-4 一阶系统阶跃响应 $T=0.25$ 实测曲线

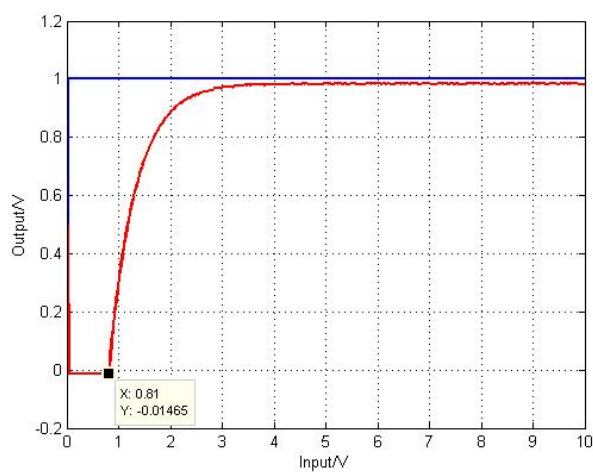


图 1-5 一阶系统阶跃响应 $T=0.50$ 实测曲线

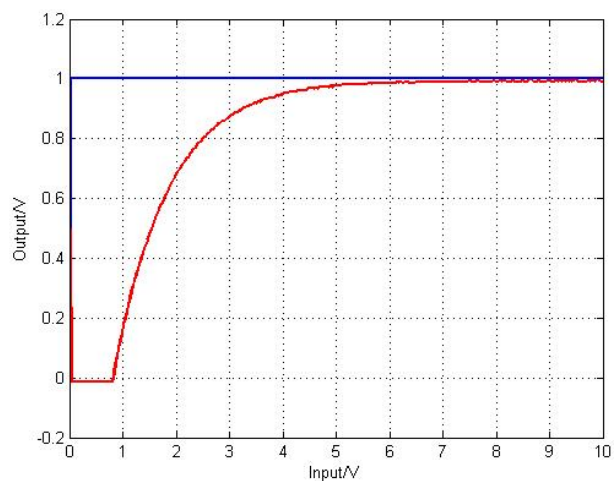


图 1-6 一阶系统阶跃响应 $T=1.00$ 实测曲线

2. 二阶系统:

ζ	0.250	0.500	0.707	1.000
R4	2M Ω	1M Ω	707k Ω	500k Ω

C2	1uF	1uF	1uF	1uF
$\sigma\%$ 实测	44%	15.2%	4.0%	0%
$\sigma\%$ 理论	44.5%	16.3%	4.3%	0
Ts 实测/s	11.1	5.31	3.09	5.25
(5%)Ts 理论/s	10.8	5.30	2.95	4.75
阶跃响应曲线	图 1-7	图 1-8	图 1-9	图 1-10

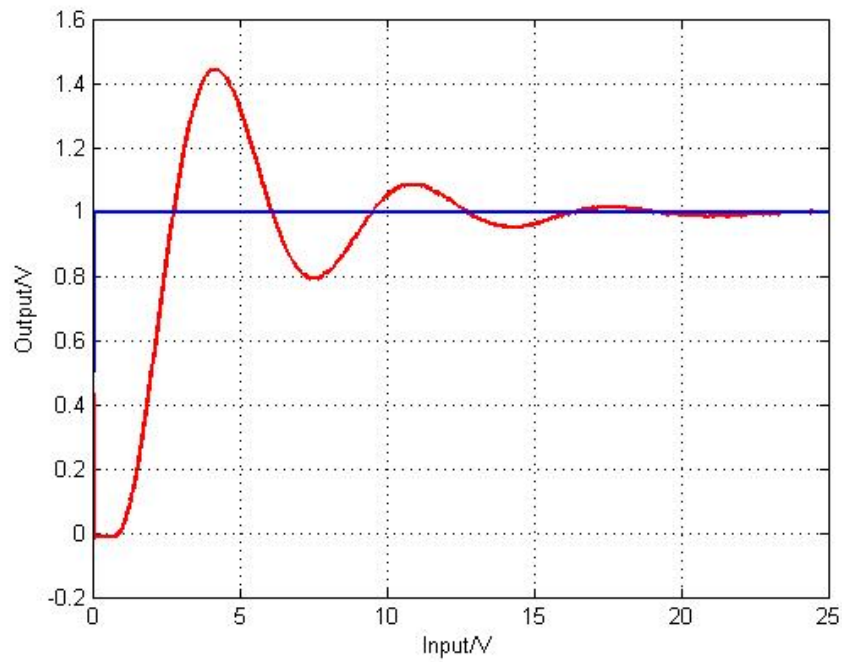


图 1-7 二阶系统阶跃响应 $\xi=0.25$ 实测曲线

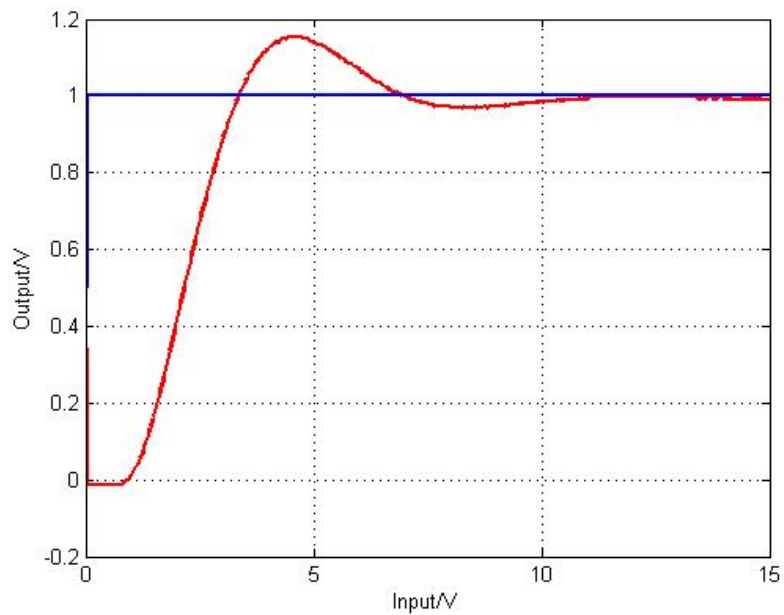


图 1-8 二阶系统阶跃响应 $\xi=0.5$ 实测曲线

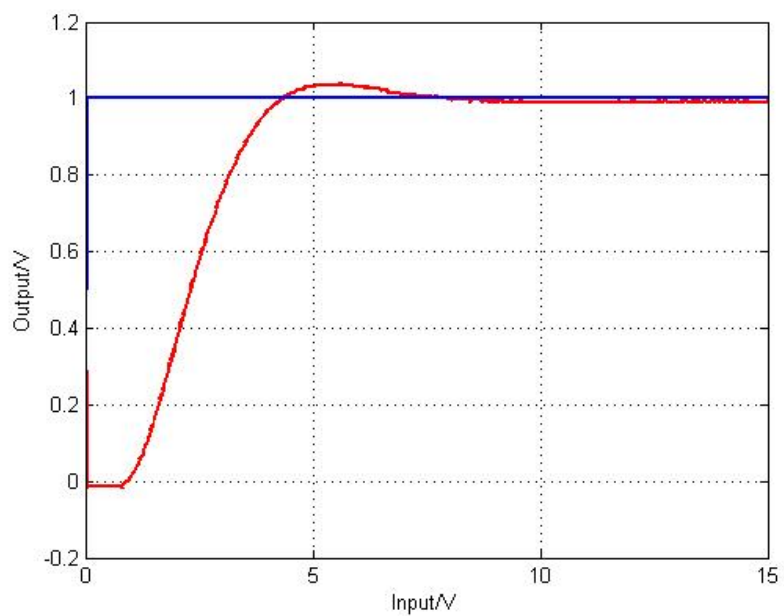


图 1-9 二阶系统阶跃响应 $\xi = 0.707$ 实测曲线

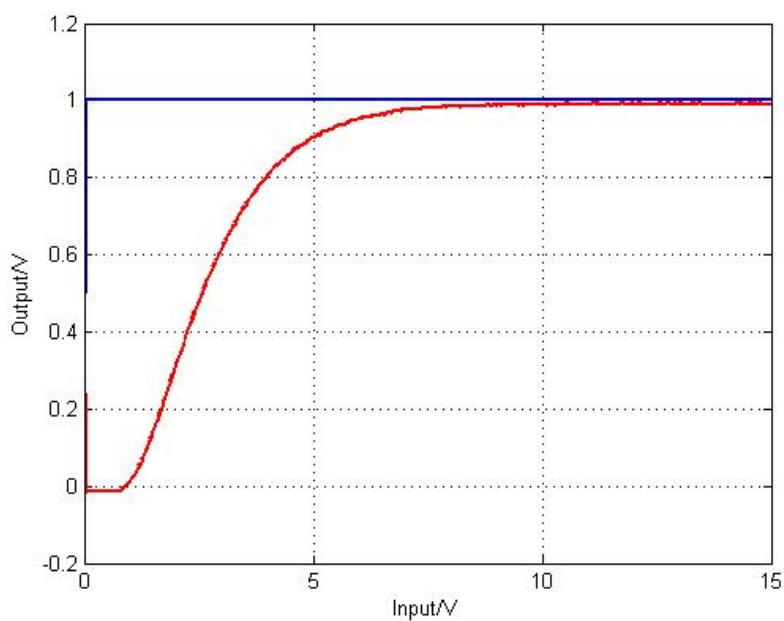


图 1-10 二阶系统阶跃响应 $\xi = 1$ 实测曲线

七、结果分析

1. 误差分析

一阶系统：

计算调节时间误差的公式为：
$$\frac{|T_{s理} - T_{s实}|}{T_{s理}} \times 100\%$$

经计算：

T/s	0.25	0.5	1
-----	------	-----	---

误差	4%	18%	7%
----	----	-----	----

二阶系统:

计算调节时间误差的公式为: $\frac{|T_{s理}-T_{s实}|}{T_{s理}} \times 100\%$

计算超调量误差的公式为: $\frac{|\sigma_{理}-\sigma_{实}|}{\sigma_{理}} \times 100\%$

经计算, 结果为:

ζ	0.250	0.500	0.707	1.000
Ts 误差	2.78%	0.19%	4.75%	10.53%
超调量 σ 误差	1.12%	6.75%	6.98%	

从实验结果可以看出, 无论是一阶系统还是二阶系统, 均有不同程度的误差。可能的原因有以下几点:

1. 实际电路电阻、电感的值与理想值有出入, 造成随机误差。
2. matlab 横坐标与游标的精度不够, 造成读数时存在约等的情况, 造成误差。
3. 实际电路产生阶跃信号有一定的延迟时间, 对延迟时间长度的判断会造成误差。
4. 运放的放大倍率有限, 与理想的无限放大倍率不同。
5. 实验 AD 转换时可能造成误差。

2. 性能指标分析

(1) 一阶系统

1. 单位阶跃响应是单调上升曲线。
2. 曲线特性由 T 唯一决定, T 越小, 过渡过程进行的越快, 系统的快速性越好。
3. 没有稳态误差。

(2) 二阶系统

1. 平稳性: 由曲线可以看出, 阻尼比 ζ 越大, 超调量 σ 越小, 响应的振荡倾向越弱, 平稳性越好。反之阻尼比 ζ 越小, 超调量 σ 越大, 振荡越强, 平稳性越差。

2. 快速性: 由曲线的对比可以看出, ζ 过大, 如接近于 1, 系统响应迟钝, 调节时间 T_s 长, 快速性差; ζ 过小, 虽然响应的起始速度较快, 但因为振荡强烈, 衰减缓慢, 所以调节时间 T_s 也长, 快速性差。从实验中可以看到 $\zeta=0.707$ 时, T_s 最短, 即快速性最好, 此时的平稳性也让人满意。

3. 稳态精度: 对于欠阻尼和临界阻尼的情况下, 单位阶跃响应是不存在稳态误差的。

八、收获、体会及建议

第一次自控实验让我充分了解了自控实验的实验流程, 加深了对一二阶系统阶跃响应的认识。通过这次实验我明白, 只有经过充分的预习与 MATLAB 仿真, 才可以高效率, 高精度地完成实验。

附录 MATLAB 代码

```
clc;
clear;
k=1;
t=0:0.05:20;
G=tf(1,[1,2*k,1]);
step(G,t);
title('二阶曲线');
xlabel('t/s');
ylabel('c(t)');
```


实验二 高阶系统性能分析与数值仿真实验

实验时间：2018.11.6 实验编号： 同组同学：无

一、实验目的

通过本实验掌握利用四阶龙格—库塔法进行控制系统数字仿真的方法，并分析系统参数改变对系统性能的影响。

二、实验内容

1、高阶系统稳定性分析

已知系统结构图如图 2.1 所示。

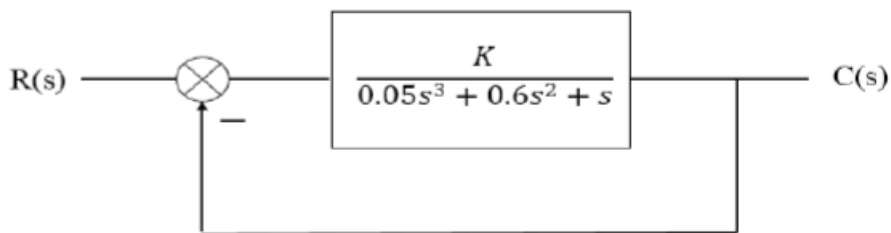
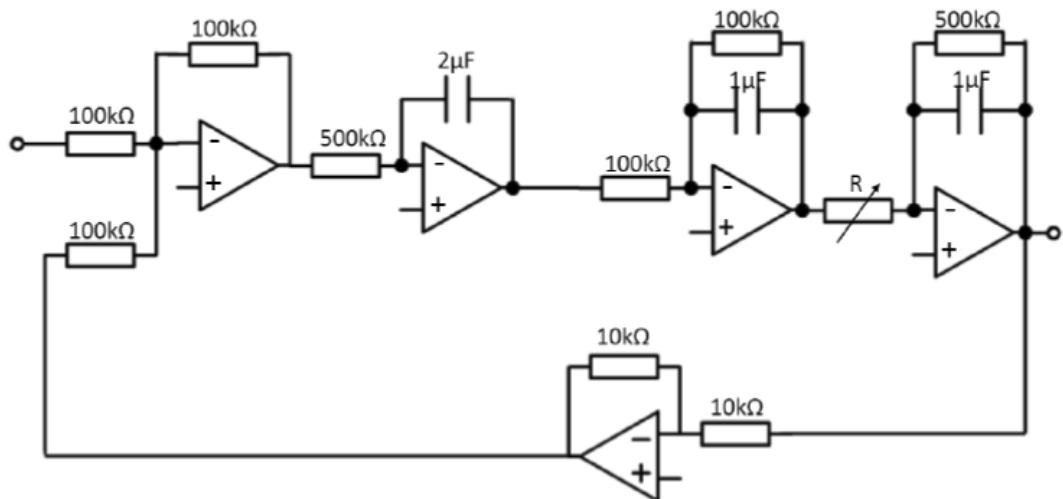


图 2.1 系统结构图 1

计算闭环系统的临界稳定增益 K 。分别采用劳斯（Routh）判据和根轨迹法求解。

分别取 3 个 K 值，使系统产生衰减振荡、等幅振荡、发散振荡。（采用 Matlab 进行仿真，得到三种情况下的响应曲线）

搭建实验电路实现上述传递函数。



开环增益 $K=500k\Omega/R$ ，调整可变电阻 R 可以改变 K 值

2、控制系统数值仿真

已知系统结构图如图 2.2 所示。

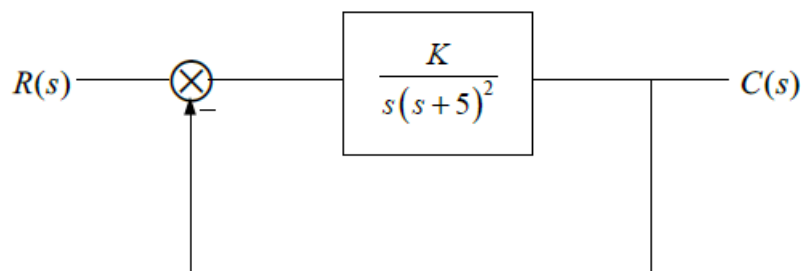


图 2.2 系统结构图 2

若输入为单位阶跃信号，计算当超调量分别取为 5%、25%和 50%时 K 的取值（用主导极点方法估算），并根据确定的 K 值在计算机上进行数字仿真。

三、实验原理

1. 四阶—龙格库塔法

若一阶微分方程如下：

$$\begin{cases} \dot{y}(t) = f(t, y(t)) \\ y(t_0) = y_0 \end{cases} \quad (2-4-1)$$

则在 t_{n+1} ($t_{n+1} > t_0$) 处， $y(t_{n+1})$ 的近似值为

$$y_{n+1} = y_n + \frac{h}{6}(k_1 + 2k_2 + 2k_3 + k_4) \quad (2-4-2)$$

式中：

$$\begin{aligned} h &= t_{n+1} - t_n \\ k_1 &= f(t_n, y_n) \\ k_2 &= f(t_n + \frac{1}{2}h, y_n + \frac{1}{2}hk_1) \\ k_3 &= f(t_n + \frac{1}{2}h, y_n + \frac{1}{2}hk_2) \\ k_4 &= f(t_n + h, y_n + hk_3) \\ n &= 0, 1, 2, \dots \end{aligned}$$

如果微分方程是如下形式的向量微分方程：

$$\begin{cases} \dot{X}(t) = F(t, X(t), u(t)) \\ X(0) = X_0 \end{cases} \quad (2-4-3)$$

其中， $X(t)$ 是 m 维向量， t 和 $u(t)$ 均为标量，则在 t_{n+1} ($t_{n+1} > t_0$) 处， $X(t_{n+1})$ 的近似值为：

$$X_{n+1} = X_n + \frac{h}{6}(K_1 + 2K_2 + 2K_3 + K_4) \quad (2-4-4)$$

式中：

$$\begin{aligned}
h &= t_{n+1} - t_n \\
K_1 &= F(t_n, X_n, u(t_n)) \\
K_2 &= F(t_n + \frac{h}{2}, X_n + \frac{h}{2} K_1, u(t_n)) \\
K_3 &= F(t_n + \frac{h}{2}, X_n + \frac{h}{2} K_2, u(t_n)) \\
K_4 &= F(t_n + h, X_n + h K_3, u(t_n)) \\
n &= 0, 1, 2, \dots
\end{aligned}$$

2. 控制系统仿真

设系统的闭环传递函数为：

$$\varphi(s) = \frac{y(s)}{u(s)} = \frac{c_1 s^{n-1} + c_2 s^{n-2} + \dots + c_{n-1} s + c_n}{s^n + a_1 s^{n-1} + \dots + a_{n-1} s + a_n} \quad (2-4-5)$$

引入中间变量 $v(s)$ ，则上式可化为 $\frac{y(s)}{u(s)} = \frac{y(s)}{v(s)} \cdot \frac{v(s)}{u(s)}$ 。

令：

$$\frac{v(s)}{u(s)} = \frac{1}{s^n + a_1 s^{n-1} + \dots + a_{n-1} s + a_n} \quad (2-4-6)$$

$$\frac{y(s)}{v(s)} = c_1 s^{n-1} + c_2 s^{n-2} + \dots + c_{n-1} s + c_n \quad (2-4-7)$$

由以上两式可得如下两个微分方程

$$v^{(n)}(t) + a_1 v^{(n-1)}(t) + \dots + a_{n-1} \dot{v}(t) + a_n v(t) = u(t) \quad (2-4-8)$$

$$y(t) = c_1 v^{(n-1)}(t) + c_2 v^{(n-2)}(t) + \dots + c_{n-1} \dot{v}(t) + c_n v(t) \quad (2-4-9)$$

令：

$$\begin{aligned}
v^{(n-1)}(0) &= v^{(n-2)}(0) = \dots = \dot{v}(0) = v(0) = 0 \\
x_1(t) &= v(t), x_2(t) = \dot{v}(t), \dots, x_n(t) = v^{(n-1)}(t)
\end{aligned}$$

则式(2-4-8)可化为如下二阶微分方程组：

$$\begin{cases} \dot{x}_1(t) = x_2(t) \\ \dot{x}_2(t) = x_3(t) \\ \vdots \\ \dot{x}_{n-1}(t) = x_n(t) \\ \dot{x}_n(t) = -a_n x_1(t) - a_{n-1} x_2(t) - \dots - a_1 x_n(t) + u(t) \end{cases} \quad (2-4-10)$$

式(2-4-9)可写成：

$$y(t) = c_n x_1(t) + c_{n-1} x_2(t) + \dots + c_1 x_n(t) \quad (2-4-11)$$

方程(2-4-10)和(2-4-11)可写成如下向量形式：

$$\begin{cases} \dot{X}(t) = AX(t) + bu(t) \\ y(t) = cX(t) \\ X(0) = 0 \end{cases} \quad (2-4-10)$$

这里 $X(t)$ 为 n 维列向量， $u(t)$ 为标量， A 为 $n \times n$ 常数矩阵， b 为 n 维列向量， c 为 n 维行向量，并分别具有如下形式：

$$X(t) = \begin{bmatrix} x_1(t) \\ x_2(t) \\ \vdots \\ x_n(t) \end{bmatrix} \quad b = \begin{bmatrix} 0 \\ 0 \\ \vdots \\ 1 \end{bmatrix} \quad A = \begin{bmatrix} 0 & 1 & 0 & \cdots & 0 \\ 0 & 0 & 1 & \cdots & 0 \\ \vdots & \vdots & \vdots & \ddots & \vdots \\ 0 & 0 & 0 & \cdots & 1 \\ -a_n & -a_{n-1} & -a_{n-2} & \cdots & -a_1 \end{bmatrix} \quad c = [c_n, c_{n-1}, \dots, c_1]$$

对比式(2-4-3)可得, $F(t, X(t), u(t)) = AX(t) + bu(t)$

四、实验设备

1. 数字计算机
2. 模拟机

五、实验步骤

高阶系统稳定性分析

1. 分别采用劳斯判据和绘制根轨迹方法计算 K 值（要写出计算过程）；
2. 根据结果选取 3 种情况下的 K 值，代入系统进行 Matlab 仿真；
3. 将三种情况的响应曲线记录保存。

控制系统数值仿真

1. 绘制系统根轨迹。
2. 参照系统根轨迹，分析系统性能，并确定主导极点，适当简化系统。
3. 计算系统阶跃响应超调量分别取为 5%、25%和 50%时 K 的取值。
4. 根据图 2.4.2，编写数值仿真程序。源程序代码附在报告里，并进行必要的注释。若选取计算步长为 h，输出打印步长为 mh（m 为正整数），共计算 N 步，则程序框图如下：

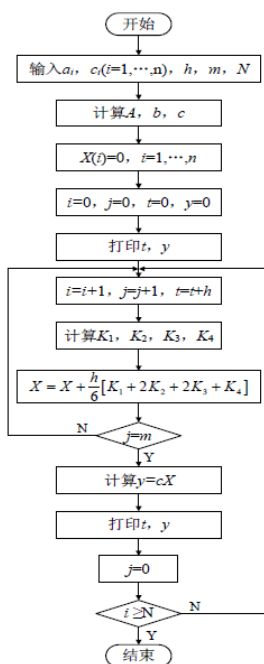


图 2.4.1 程序框图

5. 根据确定的 K 值在计算机上进行数字仿真，绘制不同 K 值下的系统阶跃响应曲线。

6. 分析系统阶跃响应曲线，计算性能指标与设计要求进行比较。

六、实验结果

6.1 高阶系统稳定性分析

1. 分别采用劳斯判据和绘制根轨迹方法计算 K 值（要写出计算过程）；

1) 劳斯判据法

系统的闭环特征方程为

$$D(s)=0.05 \times s^3+0.6 \times s^2+s+K$$

列出劳斯表为：

s^3	0.05	1
s^2	0.6	K
s	$\frac{0.6 - 0.05K}{0.6}$	0
0	0.05	0

若使临界稳定，则有

$$0.6 - 0.05 * K = 0$$

所以 K=12。

2) 根轨迹法

用 matlab 绘制根轨迹为：

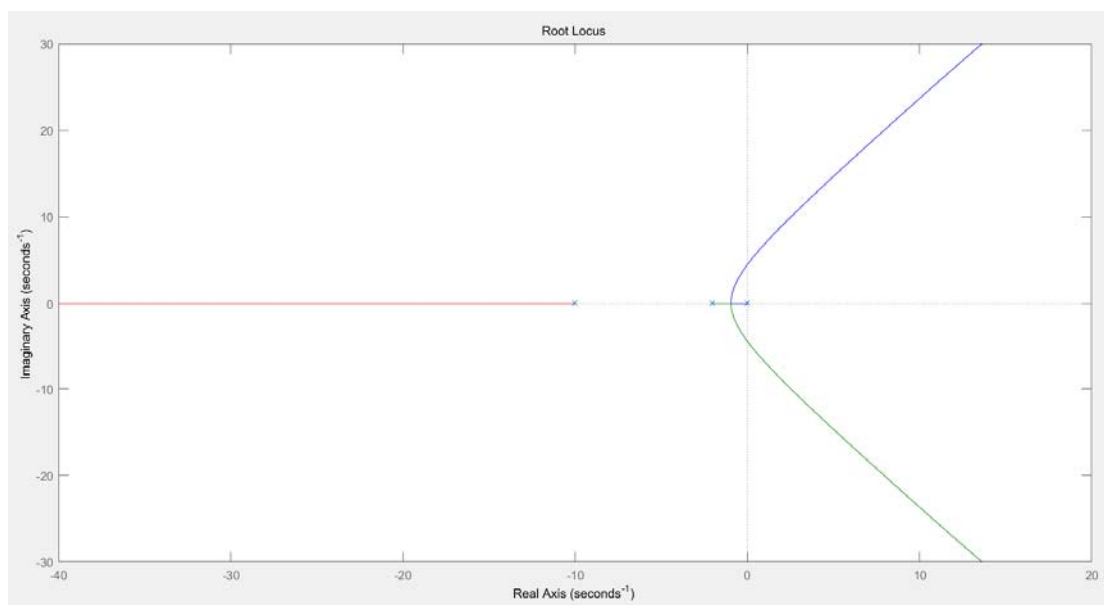


图 6.1 系统根轨迹图

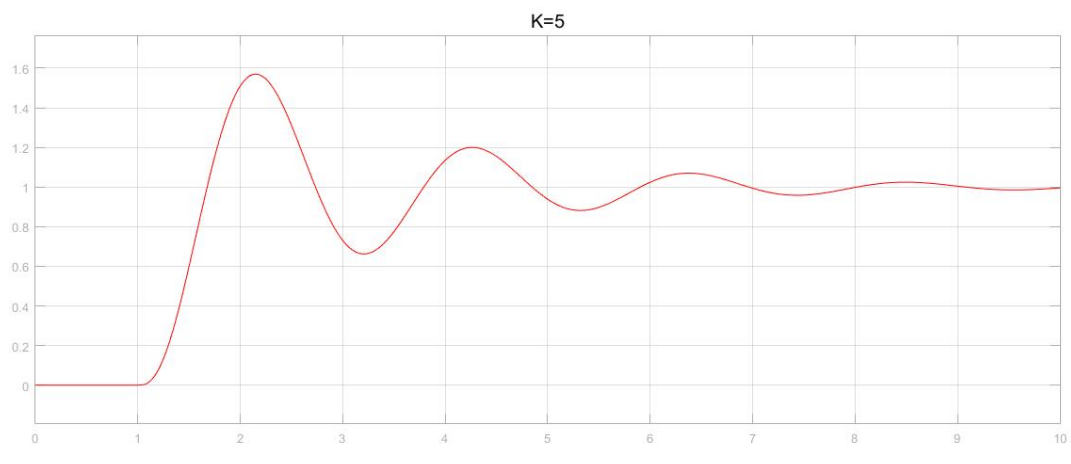
求得临界增益 K=12。

或者将 $s=j\omega$ 代入闭环特征方程，实部虚部分别等于零，解得 K=12。

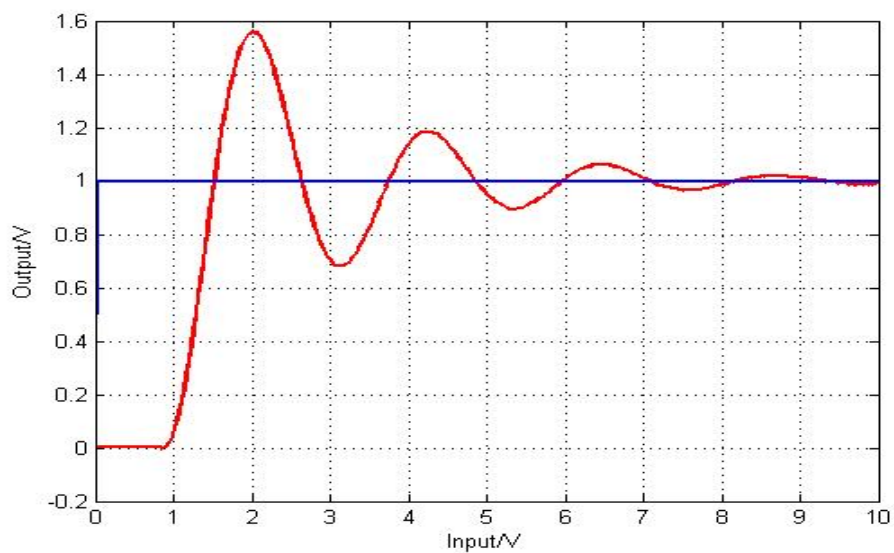
2. 仿真与实验

选取的 K 值分别为 K=5, K=12, K=20。仿真与实际结果记录如下：

K=5 R=100k Ω

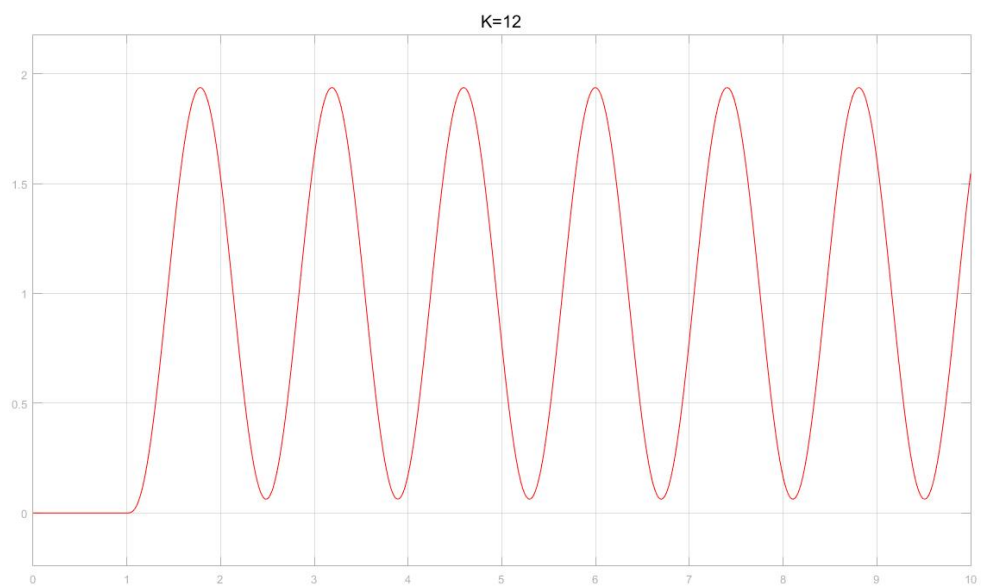


仿真曲线

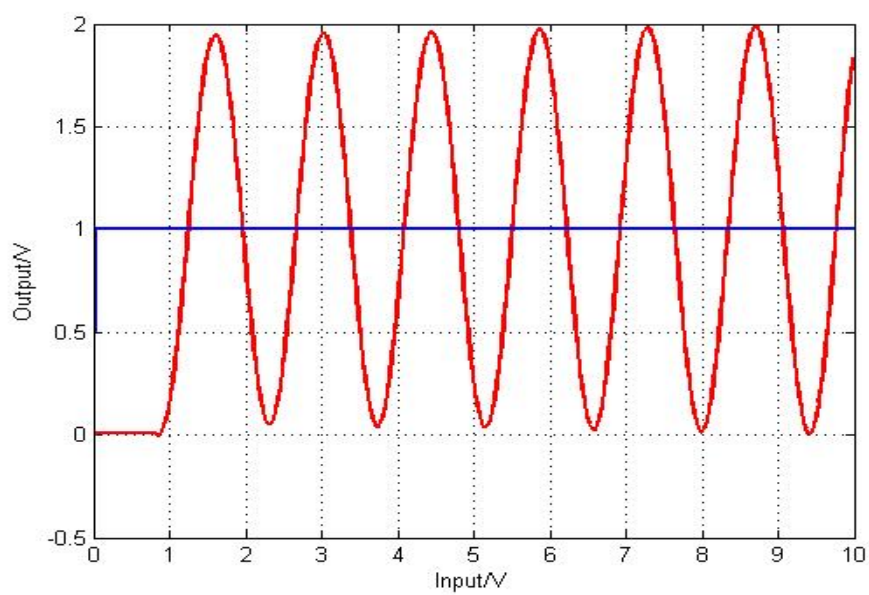


实验曲线

K=12 R=38k Ω

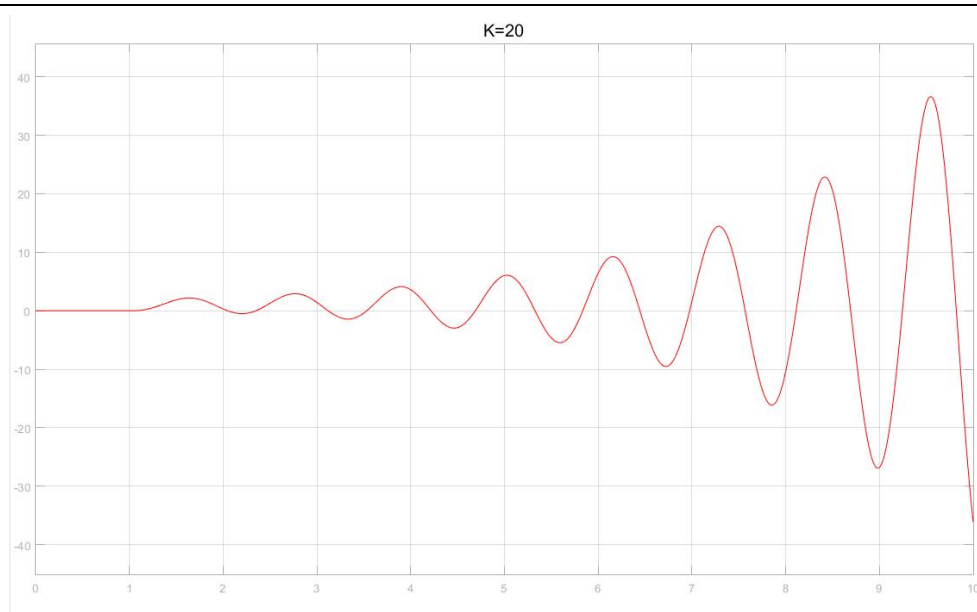


仿真曲线

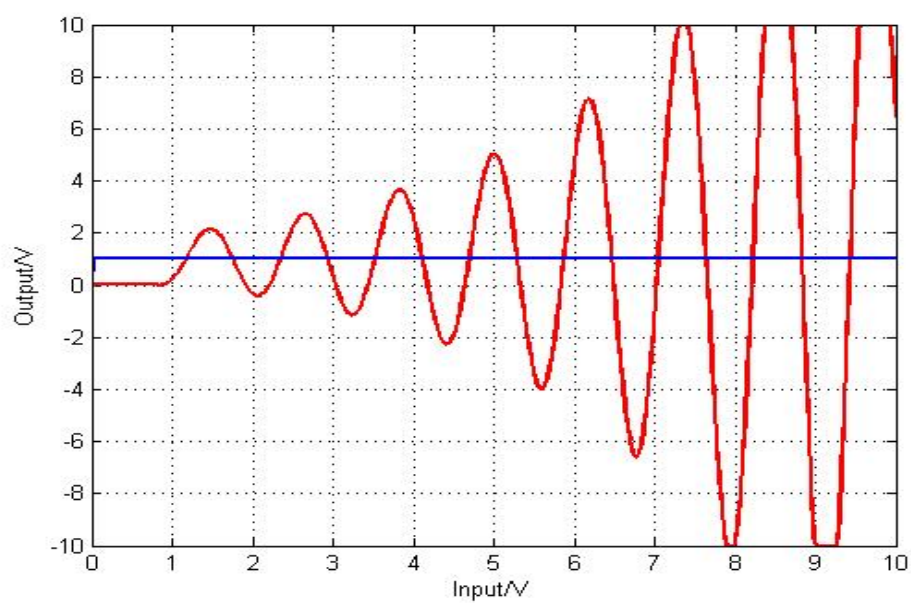


实验曲线

K=20 R=25k Ω

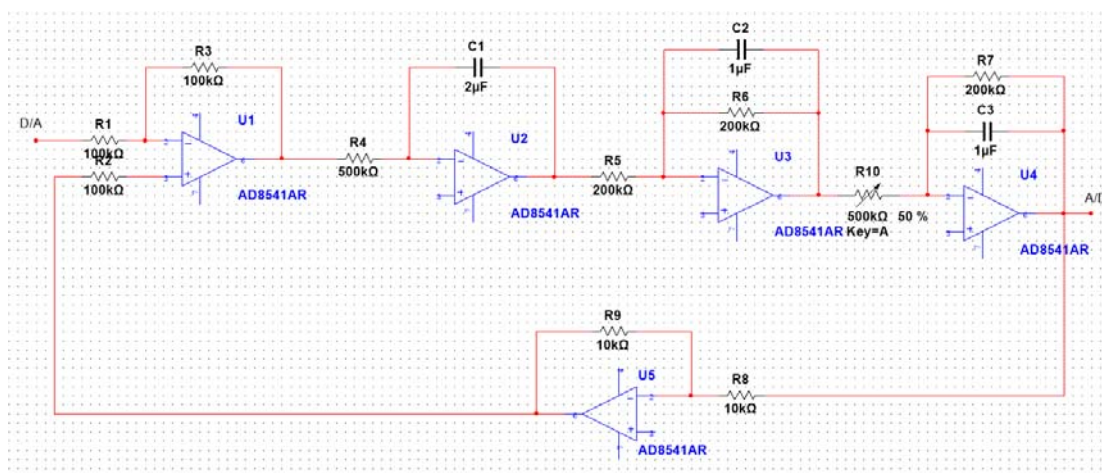


仿真曲线



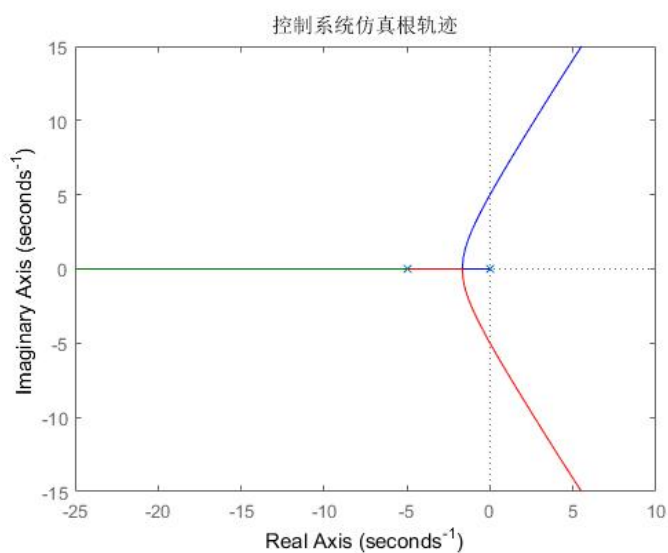
实验曲线

6.2 控制系统数值仿真



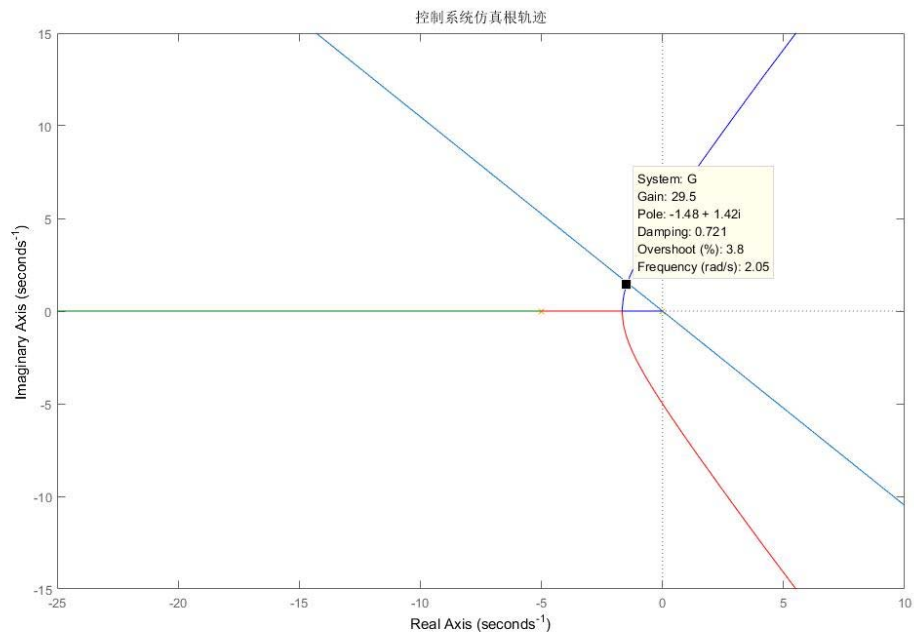
实验电路图

1. 绘制系统根轨迹。



2. 参照系统根轨迹，分析系统性能，并确定主导极点，适当简化系统。

主导极点为闭环传递函数中的离虚轴较远的极点。根轨迹里，做一条过原点，与负实轴夹角的余弦为阻尼比的直线，交点即为该阻尼比下的零点。以超调量 5% 为例，经计算知阻尼比为 0.690，画直线如下：



直线与根轨迹交于上下两点以及零点，距离虚轴最近的有上下两个点，故主导极点有两个，可以用二阶系统近似研究该系统。

3. 计算系统阶跃响应超调量分别取为 5%、25%和 50%时 K 的取值。

1) 计算 K 值

二阶系统单位阶跃响应的超调量

$$\sigma\% = e^{\frac{-\pi\zeta}{\sqrt{1-\zeta^2}}} \times 100\%$$

1) 当 $\sigma\% = 5\%$ 时

$$\text{解得 } \zeta = 0.690$$

设主导极点

$$s_{1,2} = \zeta a + j\sqrt{1-\zeta^2}a = 0.69a + j0.72a$$

代入 $D(s) = s^3 + 10s^2 + 25s + K = 0$ 中,

$$(0.69a + j0.72a)^3 + 10(0.69a + j0.72a)^2 + 25(0.69a + j0.72a) + K = 0$$

$$\text{解得 } K = 31.3, a = -2.10$$

$$\text{即 } s_{1,2} = -1.45 \pm j1.52$$

与前一问用根轨迹图求得的交点坐标较为接近。

2) 当 $\sigma\% = 25\%$ 时

$$\text{解得 } \zeta = 0.403$$

设主导极点

$$s_{1,2} = \zeta a + j\sqrt{1-\zeta^2}a = 0.403a + j0.915a$$

代入 $D(s) = s^3 + 10s^2 + 25s + K = 0$ 中,

$$(0.403a + j0.915a)^3 + 10(0.403a + j0.915a)^2 + 25(0.403a + j0.915a) + K = 0$$

解得 $K=59.5$, $a=-2.75$

$$\text{即 } s_{1,2} = -1.11 \pm j2.53$$

3) 当 $\sigma\% = 50\%$ 时

解得 $\zeta = 0.215$

设主导极点

$$s_{1,2} = \zeta a + j\sqrt{1 - \zeta^2}a = 0.215a + j0.977a$$

代入 $D(s) = s^3 + 10s^2 + 25s + K = 0$ 中,

$$(0.215a + j0.977a)^3 + 10(0.215a + j0.977a)^2 + 25(0.215a + j0.977a) + K = 0$$

解得 $K=103$, $a=-3.48$

$$\text{即 } s_{1,2} = -0.75 \pm j3.4$$

附 matlab 解方程代码:

由超调量求 ζ :

```
clc;
```

```
clear;
```

```
th=0.05;
```

```
syms kesai
```

```
kesai=solve(th==exp(-pi*kesai/((1-kesai^2)^(1/2))));
```

由主导极点值代入特征方程求 K , a :

```
>> s1=0.69+0.72*1i;
```

```
>> s2=0.69-0.72*1i;
```

```
>> syms a k
```

```
>> [a,k]=solve((s1*a)^3+10*(s1*a)^2+25*(s1*a)==-
```

```
k,(s2*a)^3+10*(s2*a)^2+25*(s2*a)==-k);
```

```
>> vpa(a,2)
```

```
>> vpa(k,2)
```

4. 根据图 2.4.2, 编写数值仿真程序。源程序代码附在报告里, 并进行必要的注释。若选取计算步长为 h , 输出打印步长为 mh (m 为正整数), 共计算 N 步, 则程序框图如下:

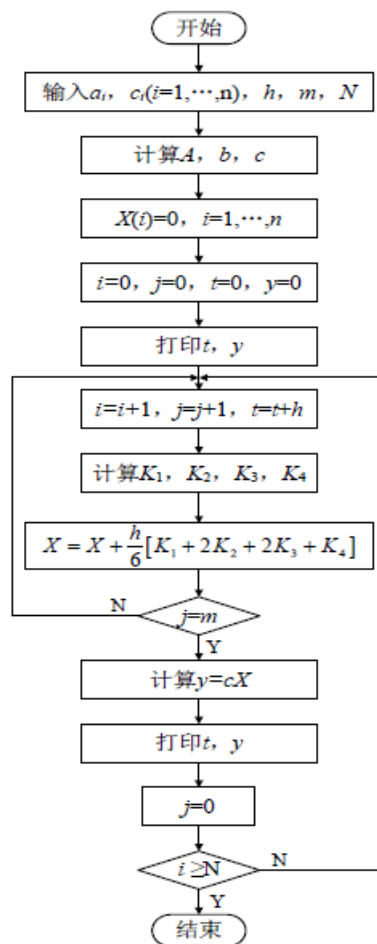
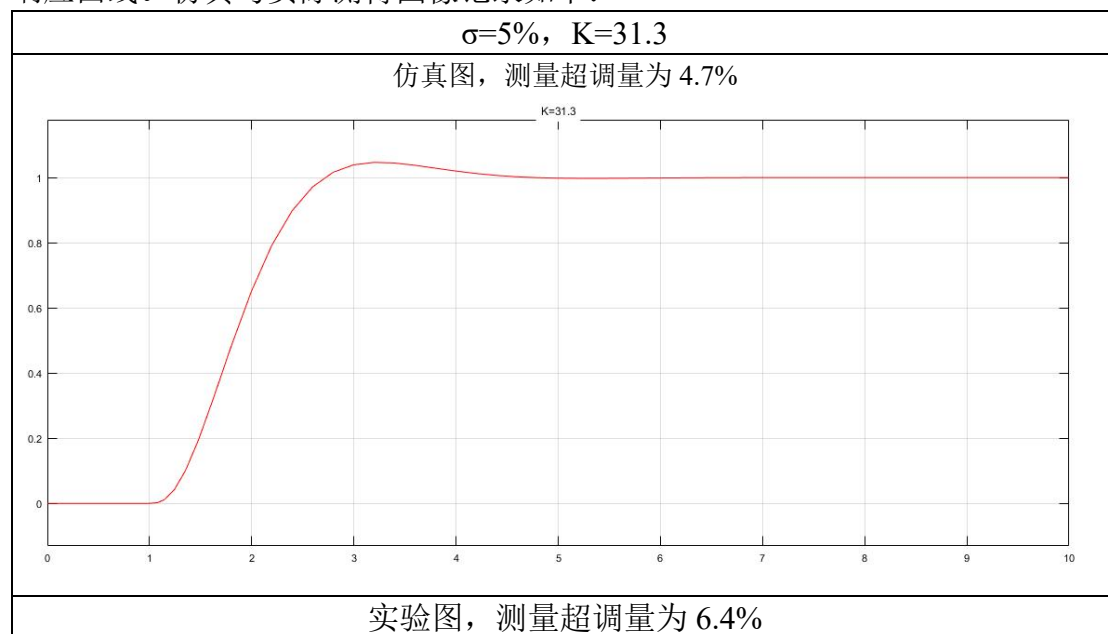
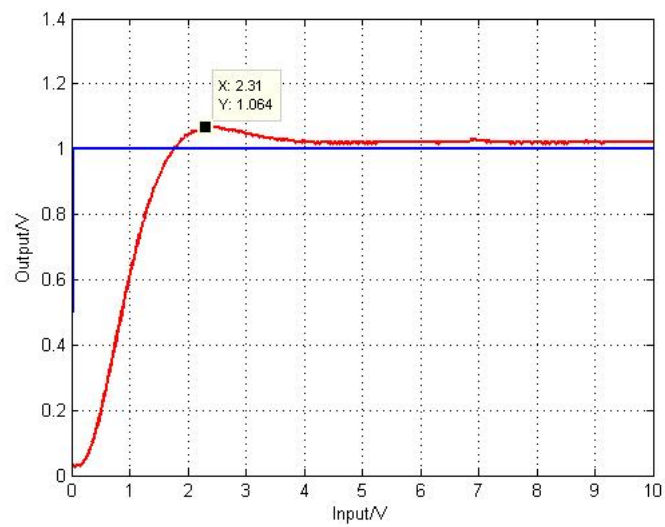


图 2.4.1 程序框图

程序附录在末尾。

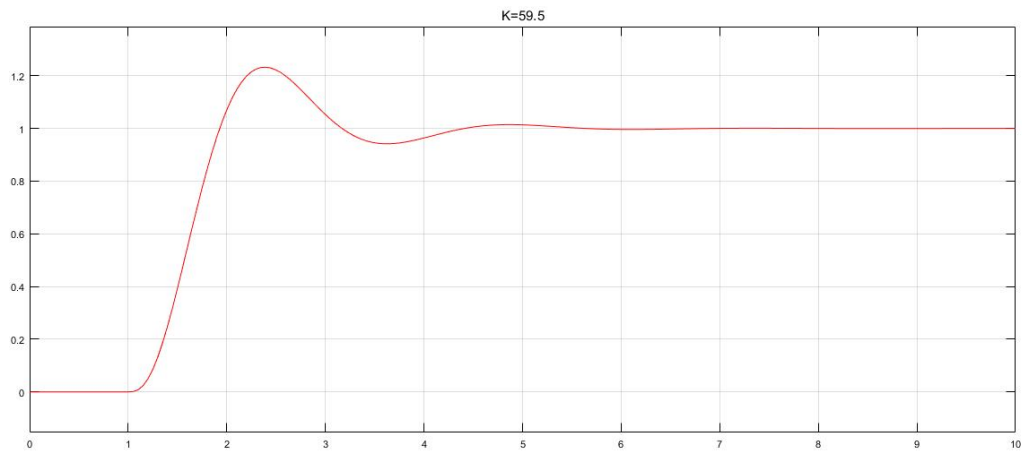
5. 根据确定的 K 值在计算机上进行数字仿真，绘制不同 K 值下的系统阶跃响应曲线。仿真与实际测得图像记录如下：



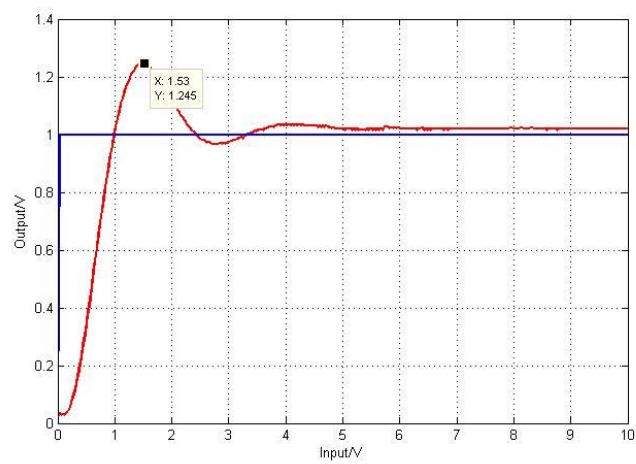


$\sigma=25\%$, $K=59.5$

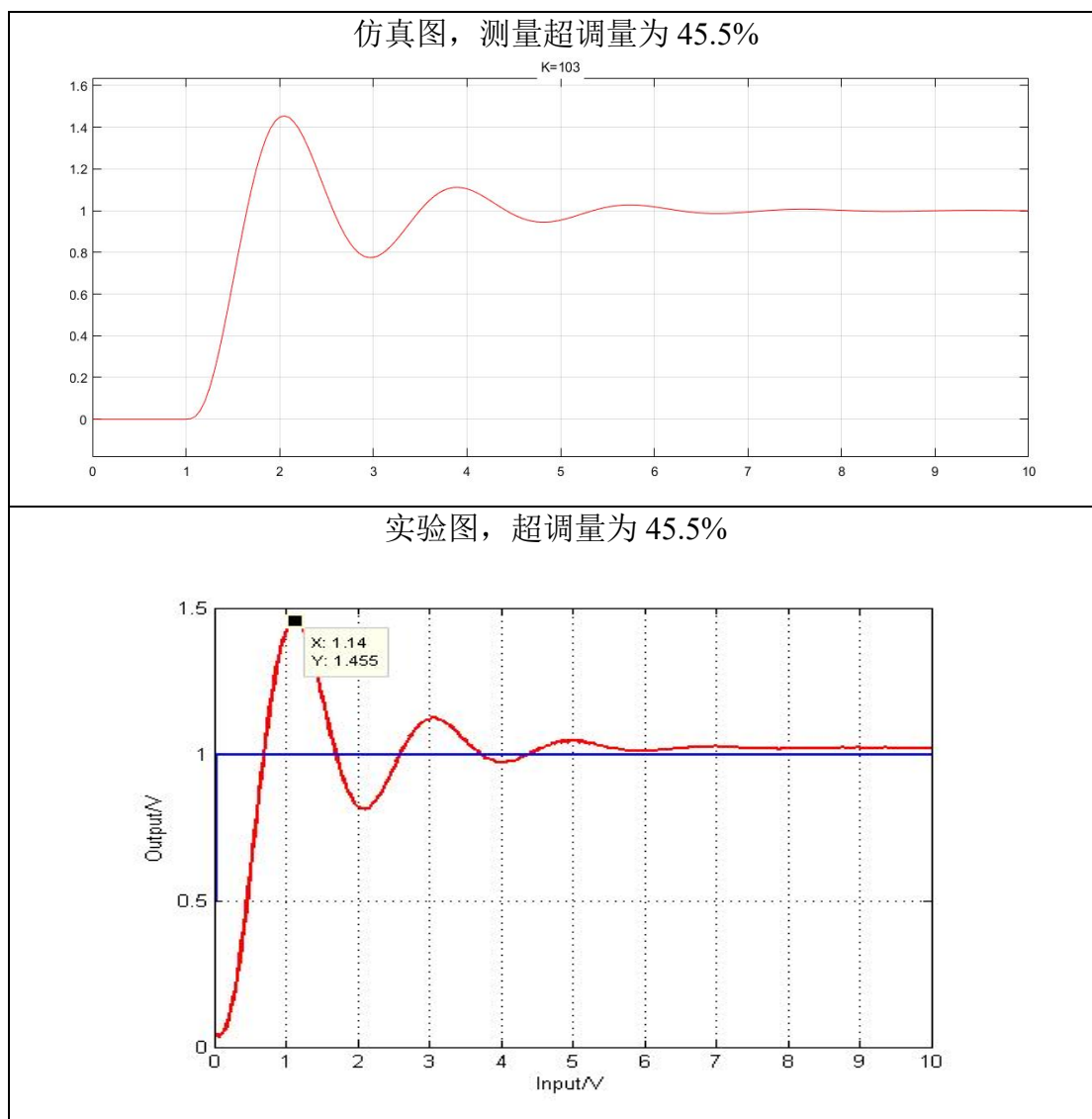
仿真图，测量超调量为 23.3%



实验图，超调量为 24.5%



$\sigma=50\%$, $K=103$



6. 分析系统阶跃响应曲线，计算性能指标与设计要求进行比较。

七、结果分析

整理数据如下：

超调量理想值	5%	25%	50%
仿真值	4.7%	23.3%	45.5%
实际值	6.4%	24.5%	45.5%
仿真误差	6.0%	6.8%	9.0%
实际误差	28.0%	2.0%	9.0%

由仿真曲线和实验曲线可知，最终结果与理想的设计值之间有一定的偏差。仿真值的偏差在于，求 K 值时，是将传递函数用主导极点法近似看成二阶系统传递函数进行的求解，这就导致距离真实的 K 值有一定的误差。因此，虽然用龙格库塔仿真时，输入的传递函数是真实的传递函数，但由于 K 值的偏差，导致最终结果产生差异，这属于固有误差。

而实际的误差属于固有误差加随机误差。固有误差来自于理论误差，随机误差主要来自于实验器材的误差，如：电阻、电容值与理论计算值存在误差，运算放大器的放大倍率有限，电线有电阻等等；也来自于操作，比如采样的时候可能

电容没有完全放电。另外，当超调量很小时，一定的绝对误差就会造成很大的相对误差，因而出現 28%误差的实验结果。

总的来说，主导极点法简化了计算，可以在一定误差范围内得到实际传递函数的近似特性，因而在工程上得到广泛应用。同时，四阶龙格库塔法可以用递归的方式得到复杂函数曲线的近似值，也在工程上得到广泛应用。

八、收获、体会及建议

通过本次实验，与理论课结合，我进一步加深了对高阶系统性能分析的理解。最重要的是，我初步掌握了用 `matlab simulation` 功能进行仿真的技能，同时编写龙格库塔数值仿真程序，锻炼了 `matlab` 编程技巧。

我希望以后在实验书上，可以对实验的检查点规定得更加细致，这样预习的时候就知道应该预习到什么程度了。

附：龙格库塔 MATLAB 仿真程序：

```
clc;
clear;

prompt1='Please input k\n'; %输入 K 值
k=input(prompt1);

a=[10 25 k]; %得到 a

c=[0 0 k]; %得到 c

prompt3='Please input h\n';
h=input(prompt3);

prompt4='Please input m\n';
m=input(prompt4);

prompt5='Please input N\n'; %输入 h,m,N
N=input(prompt5);

n=length(a); %得到矩阵大小

A=zeros(n); %求得 A
for i=1:n-1
    A(i,i+1)=1;
end
for i=1:n
    A(n,n+1-i)=-a(i);
end

b=zeros(n,1); %求 b
b(n)=1;

for i=1:floor(n/2) %求得 c
    temp=c(i);
    c(i)=c(n+1-i);
    c(n+1-i)=temp;
end

X=zeros(n,1); %列向量

i=0;j=0;t=0;t1=zeros(N/m,1);y=zeros(N/m,1); %t 作为每次生成的时间， t1 存储 y 输出时对应的
时间
```



```

t1(1)
y(1) %打印 t, y

while (i<N)

    while(j~=m)
        i=i+1;j=j+1;t=t+h;
        K1=A*X+b;
        K2=A*(X+(h/2)*K1)+b;
        K3=A*(X+(h/2)*K2)+b;
        K4=A*(X+h*K3)+b;
        X=X+(h/6)*(K1+2*K2+2*K3+K4);
    end
    y(i/m)=c*X;
    t1(i/m)=t %打印 t, y
    y(i/m)
    j=0;
end
plot(t1,y);
title(['K=',num2str(k),' 时的系统阶跃响应曲线']);
xlabel('时间 t/s'),ylabel('响应 y');

```